



عظیم

فصلنامه علوم محیطی، دوره یازدهم، شماره ۲، تابستان ۱۳۹۲

۱۱۱-۱۲۰

## نانوذرات اصلاح شده با سدیم دودسیل سولفونات به عنوان جاذبی کارا برای حذف رنگ از پساب‌های سنتزی

محمد فرجی<sup>۱</sup>، نادیا احمدی<sup>۲</sup>، رویا نوربخش<sup>۳</sup>

<sup>۱</sup> استادیار، گروه پژوهشی مواد غذایی، پژوهشکده صنایع غذایی و کشاورزی، پژوهشگاه استاندارد

<sup>۲</sup> کارشناس مسئول، گروه پژوهشی مواد غذایی، پژوهشکده صنایع غذایی و کشاورزی، پژوهشگاه استاندارد

<sup>۳</sup> رییس آزمایشگاه مرجع، گروه پژوهشی مواد غذایی، پژوهشکده صنایع غذایی و کشاورزی، پژوهشگاه استاندارد

تاریخ پذیرش: ۹۲/۶/۴

تاریخ دریافت: ۹۱/۷/۲۵

### Sodium Dodecyl Sulphate Coated Magnetite Nanoparticles as an Excellent Adsorbent for Removal of Basic Dyes from Synthetic Textile's Wastewater Samples

Mohammad Faraji<sup>1\*</sup>, Nadia Ahmadi<sup>2</sup>, Roya Noorbakhsh<sup>3</sup>

<sup>1</sup> Assistant Professor, Faculty of Food Industry and Agriculture, Department of Food Science & Technology, Standard Research Institute (SRI).

<sup>2</sup> Senior expert, Faculty of Food Industry and Agriculture, Department of Food Science & Technology, Standard Research Institute (SRI).

<sup>3</sup> Head of Refrence lab, Faculty of Food Industry and Agriculture, Department of Food Science & Technology, Standard Research Institute (SRI).

#### Abstract

Batch adsorption experiments were carried out for removal of basic dye, namely Basic Yellow 28 (BY 28), from synthetic wastewater sample of textile's company, using sodium dodecyl sulphate coated magnetite nanoparticles (SDS-Fe<sub>3</sub>O<sub>4</sub> NPs). The effects of various experimental parameters (e.g. initial pH, SDS amount, ion strength) were examined and optimal experimental conditions were obtained. The results showed that adsorption process onto the adsorbent is very fast and nearly 30 min of contact time was found to be sufficient for the dye adsorption to reach equilibrium. Equilibrium isotherm data were analyzed according to Langmuir and Freundlich equations. The characteristic parameters for each model have been determined. The Langmuir isotherm gave the best correlation for the adsorption of the BY 28 onto the adsorbent. On the basis of the Langmuir analysis, the maximum adsorption capacities were determined to be 140.8 mg g<sup>-1</sup>. Also, regeneration studies showed that Fe<sub>3</sub>O<sub>4</sub> NPs can be regenerated and reused at least for six times.

**Keywords:** Magnetite Nanoparticles, Removal; Basic Dye, Basic Yellow 28.

#### چکیده

در این نوشتار حذف رنگ بازی زرد ۲۸ از نمونه پساب سنتزی با استفاده از نانوذرات اصلاح شده با سدیم دودسیل سولفونات (SDS) ارزیابی و مطالعه شد. اثر پارامترهای تجربی مختلف مانند pH نمونه، مقدار جاذب، مقدار سورفکتانت، قدرت یونی و نوع شوینده ارزیابی و بهینه شد. تحلیل داده‌های هم‌دمای تعادلی نشان داد که مدل لانگمویر مطابقت بهتری با داده‌های به دست آمده دارد. همچنین از روی مدل لانگمویر، بیشینه ظرفیت جاذب معادل ۱۴۱ mg/g به دست آمد. با مطالعه شرایط واجذب مشخص شد که با استفاده از متانول، به‌عنوان شوینده، می‌توان نانوذرات را بازیابی و دست‌کم برای ۶ مرتبه متوالی مجدداً استفاده کرد.

**کلمات کلیدی:** نانوذرات مغناطیسی، رنگ بازی زرد ۲۸، مدل لانگمویر، حذف رنگ.

## ۱- مقدمه

هدف این تحقیق ارزیابی حذف رنگ بازی زرد ۲۸، از پساب‌های رنگ است. بدین منظور نانوذرات اصلاح شده با سدیم دودسیل سولفات به‌عنوان جاذب به کار برده شده است. ویژگی‌های جذبی جاذب با بررسی سینتیک و هم‌دما جذب مطالعه شد. همچنین بازیابی و استفاده مجدد از جاذب، مورد بررسی قرار گرفته است.

## ۲- مواد و روش‌ها

## ۲-۱- معرف‌ها و مواد شیمیایی

تمامی مواد شیمیایی به کار رفته دارای درجه خلوص تجزیه‌ای بودند. رنگ بازی زرد ۲۸ ( $C_{21}H_{27}N_3O_5S$ ,  $F_w=433/52$ ) از پژوهشکده رنگ تهیه شد. در شکل ۱ ساختار شیمیایی این رنگ نشان داده شده است.

فریک کلراید ( $FeCl_3 \cdot 6H_2O$ )، فرس کلراید ( $FeCl_2 \cdot 4H_2O$ )، سدیم هیدروکسید، سدیم کلراید، سدیم سولفات، سدیم استات، استیک اسید، سورفکتانت سدیم دو سایل سولفات (SDS) ( $NaC_{12}H_{25}SO_4$ ,  $F_w=288/37$ g/mol)، متانول، استون، اتانول و هیدروکلریک اسید از شرکت مرک (دارمستات، آلمان) تهیه شد. در کلیه آزمایش‌ها از آب دوبار تقطیر استفاده شد. محلول اولیه رنگ با غلظت ۱۰ mg/ml با حل کردن مقدار معینی از آن در آب مقطر به دست آمد. محلول‌های کاری با رقیق‌سازی محلول اولیه رنگ تا غلظت مورد نیاز تهیه شد. همچنین محلول پایه SDS (۱۰ mg/ml) با حل کردن مستقیم مقدار مناسبی از SDS در آب دوبار تقطیر تهیه شد. برای تنظیم pH از محلول‌های سدیم هیدروکسید ۰/۱ mol/l و هیدروکلریک اسید ۱ mol/l استفاده شد.

## ۲-۲- تجهیزات دستگاهی

اندازه‌گیری‌های اسپکتروفتومتری با دستگاه اسپکتروفتومتری CECIL مدل CE-7200 (ساخت کشور انگلستان) در طول موج بیشینه (۴۴۰ nm) انجام شد. با استفاده از دستگاه pH سنج، مدل WTW Inolab (ساخت آلمان)، pH محلول‌ها تنظیم شد. محلول‌های رنگ را با استفاده از یک موتور همزن مکانیکی هایدولف مدل RZR control 2102 (ساخت کلهم، کشور آلمان) و با همزن

آلودگی شیمیایی آب که ناشی از گستره وسیعی از آلاینده‌هاست به‌علت دارا بودن سمیت بالقوه برای انسان یک مشکل زیست محیطی مهم است. صنعت نساجی از مصرف‌کنندگان عمده آب است و حجم بالایی از رنگ‌ها را به آب‌های طبیعی تخلیه می‌کند. ره‌اشدن پساب‌های رنگی این صنعت ممکن است موجب مخاطرات زیست‌محیطی شود و از طریق زنجیره غذایی برای انسان‌ها زیان‌آور باشد. فرایندهای بی‌شماری مانند جذب، رسوب‌دادن، تجزیه شیمیایی، تجزیه نوری، تجزیه زیستی، لخته‌سازی شیمیایی و لخته‌سازی الکتروشیمیایی برای حذف رنگ‌ها از پساب‌های رنگی ارائه شده است [۱].

از میان تمام روش‌های پیشنهادی، «جذب با جاذب‌ها» یکی از رایج‌ترین روش‌ها برای حذف آلودگی از پساب‌هاست. مزایای فرایندهای جذب عبارت‌اند از: سادگی در عملیات و ارزان بودن (در مقایسه با سایر روش‌های جداسازی)؛ همچنین در این روش لجن تولید نمی‌شود.

از میان تمام جاذب‌های مرسوم، کربن فعال رایج‌ترین جاذب است که قادر به جذب بسیاری از رنگ‌ها با ظرفیت بالاست. اما این جاذب گران‌قیمت است و هزینه بازیابی آن به دلیل ساده نبودن و جذب مولکول‌های رنگ بسیار بالاست [۲]. اخیراً جاذب‌های کارا و کم‌هزینه‌ای به‌عنوان جایگزین کربن فعال برای حذف رنگ‌های بازی از نمونه‌های آبی به کار گرفته شده است [۹].

در سال‌های اخیر نانوذرات مغناطیسی اصلاح‌شده کاربرد گسترده‌ای در حذف رنگ‌ها پیدا کرده است [۱۰-۱۵]. در قیاس با جاذب‌های رایج در حذف رنگ‌ها که ابعاد میکرونی دارند، نانوذرات به‌طور قابل ملاحظه‌ای مساحت سطح به حجم بالایی دارند که این مزیت ظرفیت جذب و راندمان بالایی را برای آنها فراهم می‌کند [۱۲]. همچنین سطح نانوذرات می‌تواند به سادگی اصلاح شود و حذف رنگ‌هایی با ساختار و ماهیت‌های مختلف را امکان‌پذیر کند [۱۲-۱۵]. مزیت دیگر نانوذرات مغناطیسی، جمع‌آوری آسان آنها از محلول به کمک یک میدان مغناطیسی خارجی است. این خاصیت آنها را برای حذف رنگ‌ها از حجم‌های بالای نمونه مفید می‌سازد، زیرا نیازی به سانتریفیوژ کردن و یا صاف کردن نمونه بعد از فرایند حذف نیست.

## ۲-۴- جذب رنگ

برای بهینه‌سازی فرایند حذف رنگ، در یک بشر با افزودن مقدار مناسبی از محلول‌های پایه رنگ مقدار ۴۰ میلی‌لیتر از محلول رنگ با غلظت ۲۰ mg/l تهیه شد. سپس ۱ ml سوسپانسیون نانوذرات مگنتیت (محتوی ۱۰ mg نانوذره) به محلول رنگ اضافه شد. pH محلول در مقدار ۳ تنظیم شد و ۵ میلی‌گرم از SDS به محلول رنگ اضافه شد. سپس به منظور افزایش جذب، مخلوط حاصل به مدت ۲ دقیقه هم زده شد. پس از جذب رنگ، جاذب از محلول نمونه به کمک یک آهن‌ربای قوی جدا شد. غلظت باقی‌مانده رنگ در محلول با دستگاه اسپکترومتری اندازه‌گیری شد. برای محاسبه بازده حذف رنگ مطابق معادله ۱ عمل می‌کنیم

$$\text{Dye removal efficiency (\%)} = \frac{(C_0 - C_e)}{C_0} \times 100 \quad (1)$$

در این معادله  $C_0$  و  $C_e$  به ترتیب غلظت اولیه رنگ و غلظت باقی‌مانده رنگ در محلول (mg/l) است.

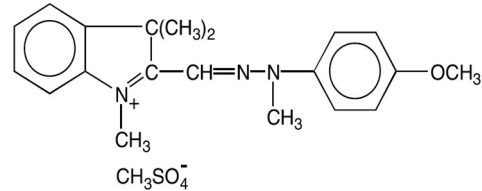
## ۲-۵- مطالعه هم‌دما

مطالعات هم‌دما در بطری‌های شیشه‌ای به حجم ۷۰ ml انجام شد. به هر کدام از این بطری‌ها ۴۰ ml محلول رنگ با غلظت‌های مختلف در گستره ۷۰-۱۰ mg/l اضافه شد که ترکیبی کاملاً مشابه با ترکیب خمره‌های رنگ‌رزی به کار رفته برای رنگ‌های بازی داشت (۲٪ سدیم استات، ۱۰٪ سدیم سولفات، ۳٪ اسید استیک). سپس ۱۰ mg نانوذره و ۵ mg از SDS در pH بهینه به هریک از این محلول‌های رنگ اضافه شد. محلول‌ها با سرعت ۲۰۰ rpm و به مدت ۲ ساعت در دمای ۲۵°C هم زده شدند تا جذب رنگ به تعادل برسد. پس از خارج کردن بطری‌ها از زیر همزن مکانیکی، آنها را روی یک آهن‌ربای قوی قرار دادند و بعد از جداسازی مغناطیسی نانوذرات اصلاح‌شده با SDS، غلظت تعادلی رنگ در محلول باقی‌مانده با دستگاه اسپکتروفتومتر اندازه‌گیری شد. مقدار رنگ جذب شده با نانوذرات اصلاح‌شده (برحسب  $(\text{mg/g})q_e$ ) از طریق معادله ۲ به دست آمد:

$$q_e = \frac{C_0 - C_e}{m_s} \quad (2)$$

که در آن  $C_0$  و  $C_e$  به ترتیب غلظت‌های اولیه و تعادلی رنگ در محلول، و  $m_s$  غلظت نانوذرات مگنتیت است.

شیشه‌ای هم زدند. یک آهن‌ربا با قدرت میدان مغناطیسی ۱/۴ تسلا و با ابعاد (۱۰×۵×۴ cm) برای جداسازی‌های مغناطیسی به کار گرفته شد.



Basic yellow 28 (BY28)

شکل ۱- ساختار شیمیایی رنگ بازی زرد ۲۸

## ۲-۳- روش سنتز نانوذرات مگنتیت

به منظور سنتز نانوذرات مگنتیت [۱۶] ابتدا ۱۰/۴ g از نمک  $\text{FeCl}_3 \cdot 6\text{H}_2\text{O}$ ، ۴/۰ g از  $\text{FeCl}_2 \cdot 4\text{H}_2\text{O}$  و ۱/۷ ml از هیدروکلریک اسید (۱۲M) به ۵۰ ml آب یون‌زدایی شده داخل یک بشر اضافه شد و مخلوط کاملاً هم‌زده شده تا محلولی شفاف به دست آید. سپس این محلول مدت ۲۰ دقیقه با عبور گاز نیتروژن اکسیژن‌زدایی شد. به صورت موازی، ۵۰۰ ml محلول سدیم هیدروکسید (۱/۵M) به یک بشر منتقل شد و به مدت ۱۵ دقیقه اکسیژن‌زدایی شد؛ در حین اکسیژن‌زدایی هم‌زمان دمای آن به ۸۰°C رسانده شد. سپس محلول اولیه تهیه شده در مدت ۳۰ دقیقه، تحت اتمسفری از گاز نیتروژن و با هم‌زدن شدید (۱۰۰۰ rpm) توسط یک همزن مکانیکی، به صورت قطره قطره به محلول سدیم هیدروکسید اضافه شد. در طول این فرایند، دمای محلول همواره در ۸۰°C نگه داشته شد و برای جلوگیری از ورود اکسیژن نیز گاز نیتروژن به‌طور پیوسته به محلول دمیده شد. پس از پایان واکنش، رسوب نانوذرات مگنتیت توسط یک آهن‌ربا از محیط واکنش جدا شد و چهار مرتبه با آب یون‌زدایی شده شسته شد. آب یون‌زدایی شده مورد نیاز برای شست‌وشو، قبلاً به مدت نیم‌ساعت با نیتروژن اکسیژن‌زدایی شده بود. در نهایت نانوذرات به دست آمده در ۵۰۰ ml آب یون‌زدایی شده پخش شدند. pH سوسپانسیون حاصل ۱۱ بود و غلظت نانوذرات در آن ۱۰ mg/ml تخمین زده شد. نانوذرات تهیه شده تحت این شرایط برای مدت یک ماه پایدار بودند. در این حالت احتمال اکسایش آنها بسیار کم است.

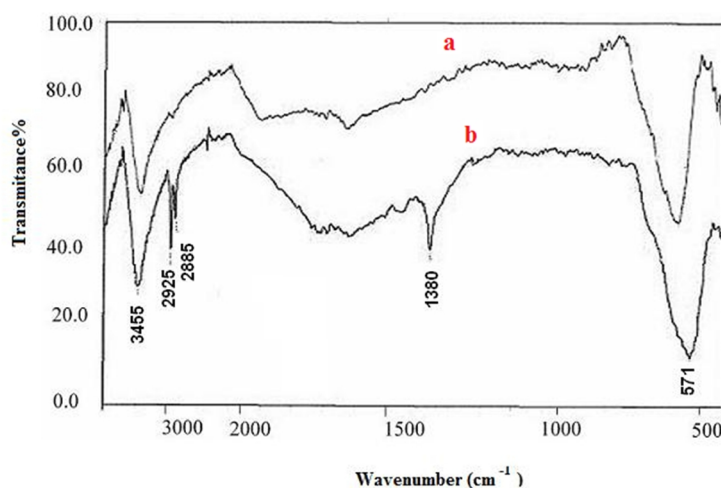
## ۳- نتایج و بحث

## ۳-۱- شناسایی نانوذرات سنتز شده

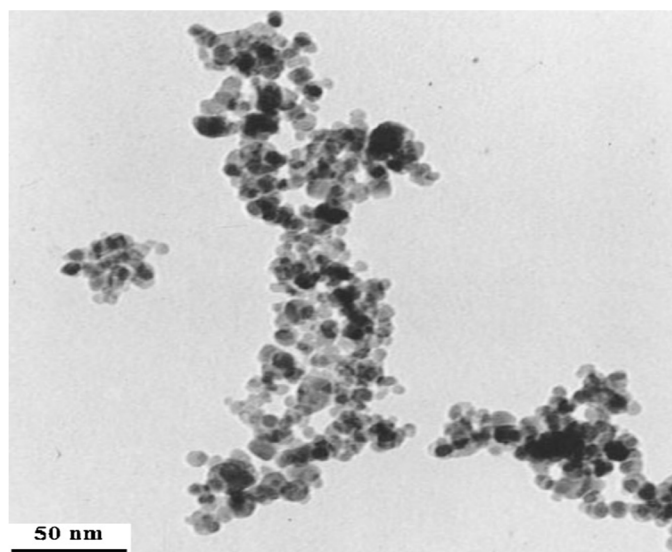
شناسایی و توصیف نانوذرات مگنتیت سنتز شده با استفاده از دستگاه‌های مختلف انجام شد. طیف IR نانوذرات مگنتیت در شکل ۲ نشان داده شده است. پیک مشاهده شده در  $3455\text{ cm}^{-1}$  به ارتعاش کششی گروه OH- نسبت داده می‌شود. این پیک نشان می‌دهد سطح نانوذرات مگنتیت با گروه‌های OH- پوشیده شده است. پیک موجود در  $571\text{ cm}^{-1}$  نیز به ارتعاش پیوند Fe-O نسبت داده می‌شود. همچنین پیک موجود در  $1380\text{ cm}^{-1}$  به پیوند S-O و پیک‌های  $2885\text{ cm}^{-1}$  و  $2925\text{ cm}^{-1}$  منکس نکند.

$2925\text{ cm}^{-1}$  به ارتعاش کششی متفاوت پیوند C-H موجود در SDS نسبت داده می‌شود. طیف IR نشان می‌دهد که سطح نانوذرات مگنتیت به خوبی با اصلاح شده است.

تصویر TEM مربوط به  $\text{Fe}_3\text{O}_4$  در شکل ۳ نشان داده شده است. تصویر نشان‌دهنده تشکیل نانوذرات مغناطیسی نسبتاً کروی است. همچنین در بین نانوذرات تجمع دیده می‌شود و کاملاً از هم مجزا نیستند. البته آماده‌سازی نمونه می‌تواند تجمع را در کلوئیدها القا کند و در نتیجه تحلیل‌های TEM ممکن است اندازه و توزیع را در محلول منعکس نکند.



شکل ۲- طیف IR نانوذرات: الف) اصلاح نشده؛ ب) اصلاح شده مگنتیت



شکل ۳- تصویر TEM نانوذرات مگنتیت

### ۲-۳- بهینه‌سازی فرایند حذف رنگ

#### ۱-۲-۳- اثر pH محلول رنگ روی کارایی حذف

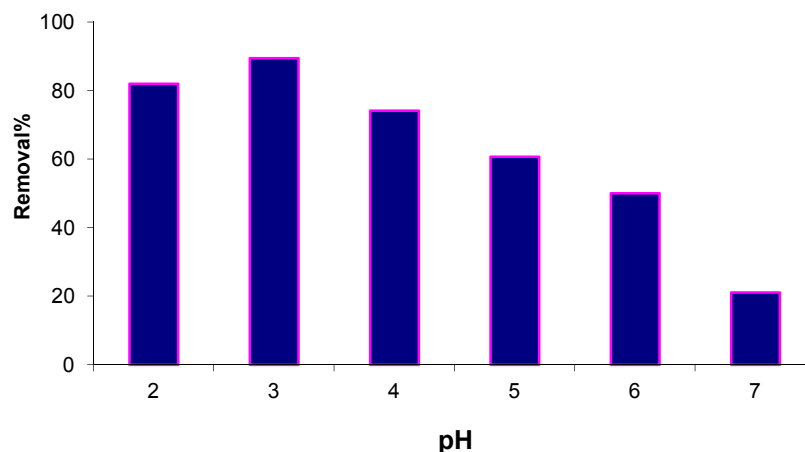
pH محلول نمونه نقشی کلیدی در حذف رنگ‌ها دارد. میزان رنگ جذب‌شده روی سطح نانوذرات تحت تأثیر بار سطحی جاذب است و بار سطحی نیز تحت تأثیر pH محلول تغییر می‌کند. نتایج بررسی اثر pH روی بازده حذف رنگ‌ها در گستره ۲ تا ۷ در شکل ۴ نشان داده شده است. چنان که مشاهده می‌شود بازده حذف با افزایش pH از ۲ به ۳ افزایش می‌یابد و در  $pH = 3$  به مقدار بیشینه (۹۰٪) خود می‌رسد. پس از آن با افزایش بیشتر pH میزان حذف کاهش می‌یابد.

#### ۲-۲-۳- اثر مقدار SDS

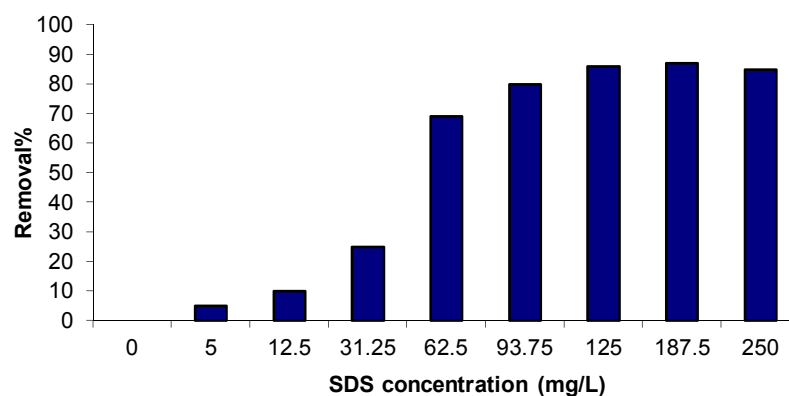
شکل ۵ درصد رنگ حذف‌شده را به‌عنوان تابعی از مقدار SDS اضافه شده نشان می‌دهد. به‌علت دافعه‌های

الکتروستاتیک میان رنگ کاتیونی و سطح مثبت نانوذرات مگنتیت در محیط اسیدی ( $pH=3$ ) در غیاب SDS، میزان بازده حذف رنگ برابر صفر است. در مقابل، با افزایش مقدار SDS مقدار حذف رنگ به‌شدت افزایش می‌یابد. افزایش حذف رنگ می‌تواند با تشکیل تدریجی تجمعات مختلفی از SDS - همی‌مایسل (سورفکتانت به‌صورت تک‌لایه بر روی سطح نانوذرات قرار می‌گیرد)، مخلوط همی‌مایسل و یا ادمایسل (سورفکتانت به‌صورت دولایه بر روی سطح نانوذرات قرار می‌گیرد) - بر روی سطح نانوذرات مگنتیت توضیح داده شود [۱۶]. در نتیجه برهمکنش رنگ با این تجمعات، بازده حذف افزایش می‌یابد.

بر پایه نتایج به دست آمده (شکل ۵)، بیشینه جذب وقتی به دست می‌آید که غلظت SDS بین  $187.5/5$  -  $125$  باشد. براساس این داده‌ها غلظت  $125$  از SDS به‌عنوان مقدار بهینه انتخاب شد.



شکل ۴ - اثر pH بر کارایی حذف رنگ



شکل ۵- اثر مقدار سورفکتانت روی کارایی حذف رنگ

## ۳-۲-۳- اثر قدرت یونی

پساب‌های صنعت نساجی حاوی غلظت‌های بالایی از نمک‌های مختلف است؛ حضور این نمک‌ها ممکن است به صورت معناداری فرایندهای جذب را تحت تأثیر قرار دهد. شکل ۶ نشان می‌دهد که تحت شرایط بهینه (pH=۳، غلظت ۲۵۰ mg/l از جاذب و غلظت ۱۲۵ mg/l از SDS) با تغییر غلظت سدیم کلراید از صفر تا ۱۰٪، بازده حذف رنگ ابتدا کاهش می‌یابد، سپس افزایش می‌یابد و پس از آن نیز تقریباً ثابت می‌ماند.

با افزایش نمک ابتدا ممکن است برهم‌کنش‌های الکترواستاتیک بین نانوذرات اصلاح‌شده با SDS و رنگ‌ها کاهش یابد. حضور نمک در غلظت زیاد ممکن است با تشکیل یک لایه‌ی پوششی روی سطح نانوذرات، مانع از برهم‌کنش SDS و سطح نانوذرات در شرایط اسیدی شود. از طرف دیگر افزایش بازده حذف با افزایش غلظت نمک را می‌توان با پدیده نمک زدایی (افزایش راندمان استخراج از فاز آبی به فاز آلی به علت حضور غلظت بالای نمک) تفسیر کرد [۱۷]. تحت این شرایط حلالیت رنگ در محلول آبی کاهش می‌یابد و میزان تمایل گونه به سطح جاذب بیشتر می‌شود. از این رو، میزان جذب به تغییرات غلظت نمک حساس است. این نتیجه نشان می‌دهد که در این سیستم جاذبه‌های الکترواستاتیک نقش مهمی در پدیده جذب ایفا می‌کنند.

## ۳-۳- مطالعه هم‌دمای جذب

داده‌های تعادلی جذب که رابطه میان جرم جذب‌شونده (بر واحد وزن جاذب) و غلظت‌های تعادلی در فاز مایع را بیان

می‌کنند با هم‌دمای جذب بیان می‌شوند و اطلاعات مهمی برای طراحی سیستم حذف فراهم می‌کنند. هم‌دمای جذب، نحوه برهم‌کنش آلاینده‌ها با جاذب‌ها را نیز توصیف می‌کنند. به منظور بهینه کردن طراحی سیستم جذب به منظور حذف رنگ از محلول‌ها، برقرار کردن همبستگی بسیار مطلوب منحنی‌های تعادل مهم است. در پژوهش‌های ثبت شده چندین معادله هم‌دمای قابل دسترس برای ارزیابی داده‌های تعادلی تجربی وجود دارد. در این مطالعه داده‌های تجربی با دو مدل هم‌دمای لانگمویر و فروندلیچ انطباق داده شد [۱۸].

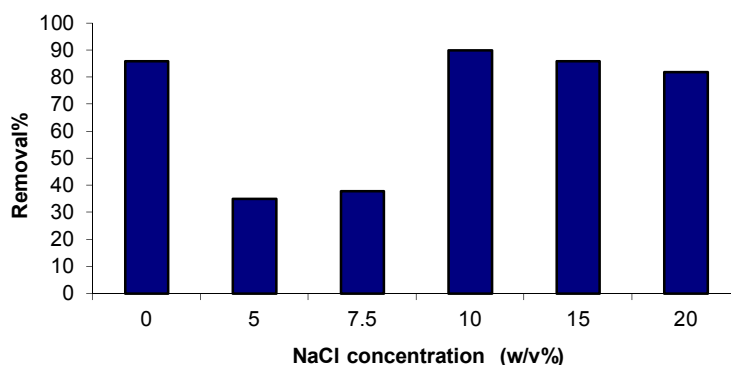
مدل لانگمویر پیشنهاد می‌کند که تمامی محل‌های جذب معادل اند، توانایی یک گونه برای پیوند شدن به این محل‌ها مستقل از اشغال یا عدم اشغال محل‌های همسایه است، و جاذب بعد از تشکیل لایه‌ای از جذب‌شونده روی سطح جاذب اشباع می‌شود. معادله خطی لانگمویر در معادله ۳ آورده شده است.

$$\frac{C_e}{q_e} = \frac{1}{K_L q_{max}} + \frac{1}{q_{max}} C_e \quad (3)$$

از طرف دیگر، مدل فرویندلیچ جذب ناهمگون و چندلایه بر روی جاذب را در نظر می‌گیرد. فرم خطی مدل فرویندلیچ نیز در معادله ۴ آورده شده است.

$$\log q_e = \log K_F + \frac{1}{n} \log C_e \quad (4)$$

پارامترهای مربوط به هر هم‌دما برای جذب رنگ‌ها روی جاذب با استفاده از تحلیل رگرسیون و ضریب همبستگی ( $R^2$ ) تعیین شد (جدول ۱). نتایج نشان می‌دهد



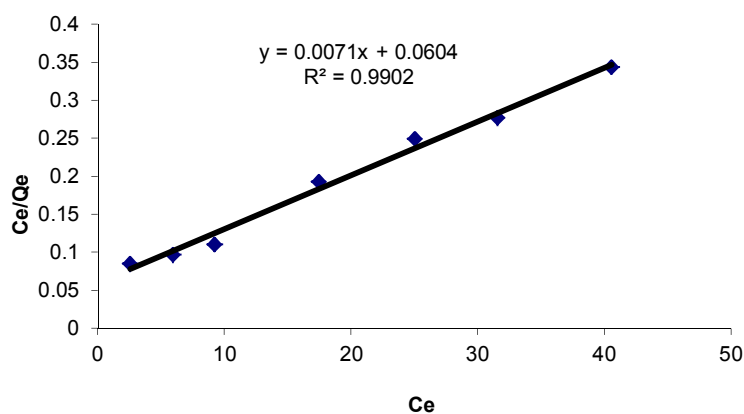
شکل ۶- اثر نمک بر روی کارایی حذف رنگ

خوبی دارد. در مقایسه با برخی از دیگر جاذب‌های گزارش شده برای حذف رنگ‌های بازی، نتایج این تحقیق نشان‌گر پتانسیل بالای نانوذرات مغناطیسی اصلاح شده با SDS به‌عنوان یک جاذب فوق‌العاده است.

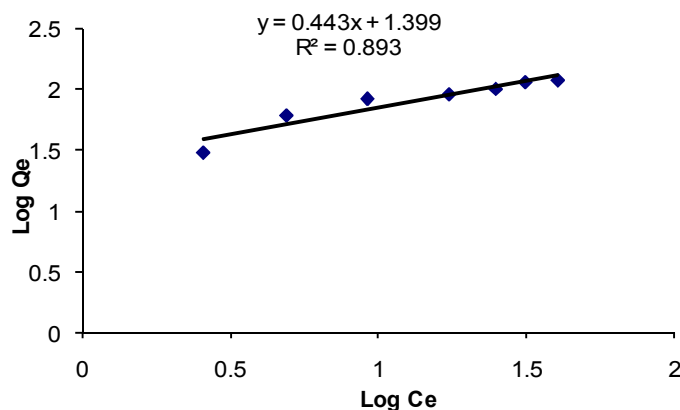
که داده‌های تعادل با مدل لانگمویر، در مقایسه با مدل فروندلیچ، انطباق بهتری دارند (شکل ۷). همچنین براساس مدل لانگمویر بیشینه ظرفیت جاذب برای رنگ زرد بازی ۲۸ mg/g به دست آمد. این مقادیر نشان می‌دهد که نانوذرات اصلاح شده با SDS ویژگی‌های جاذب

جدول ۱- پارامترهای مدل‌های لانگمویر و فروندلیچ برای حذف رنگ

رنگ	مدل‌های ایزوترم					
	لانگمویر			فروندلیچ		
	$q_{max} (mg g^{-1})$	$K_L (L mg^{-1})$	$R_L^2$	$n$	$K_F (L mg^{-1})$	$R_F^2$
BY 28	۱۴۱	۰/۱۲	۰/۹۹۰۲	۲/۲۵	۲۵/۱	۰/۸۹۳۱



(الف)



(ب)

شکل ۷- انطباق داده‌های تعادلی رنگ بازی زرد ۲۸ به: الف) مدل فروندلیچ؛ ب) مدل لانگمویر

## ۳-۴- واجذب و بازیابی جاذب

از آنجا که جذب رنگ بازی زرد ۲۸ روی سطح نانوذرات اصلاح شده با SDS یک فرایند برگشت پذیر است، امکان بازیابی نانوذرات مگنتیت برای استفاده مجدد وجود دارد. بر پایه نتایج به دست آمده، جاذب جداسازی شده می تواند با ۱ ml متانول بازیابی شود و دست کم برای ۶ فرایند جذب/واجذب متوالی با داشتن بازده جذب بالای ۹۵٪ مجدداً استفاده شود. نتایج مشابهی نیز در تحقیقات پیشین به دست آمده است [۱۶ و ۱۲]. فرایندهای بازیابی در زمان بسیار کوتاهی (۲ دقیقه) انجام می شود زیرا نانوذرات مغناطیسی می توانند به راحتی از محلول نمونه جمع آوری شوند. بنابراین، سانتریفیوژ یا صاف کردن بعد از اتمام عملیات بازیابی اصلاً لازم نیست و این یک ویژگی بسیار مطلوب از نظر کاربردی است. معادله ۵ برای محاسبه بازده واجذب رنگ به کار برده شد.

$$\text{Dye desorption efficiency (\%)} = \frac{C_D \times V_D}{(C_0 - C_e) \times V_{aq}} \times 100 \quad (5)$$

که در آن  $C_0$ ،  $C_e$  و  $C_D$  به ترتیب غلظت اولیه رنگ، غلظت باقی مانده رنگ در محلول، و غلظت رنگ واجذب شده ( $\text{mg/l}$ ) و  $V_D$  و  $V_{aq}$  به ترتیب حجم شوینده (۱ ml) و حجم نمونه پساب سنتزی (۴۰ ml) است.

## ۴- نتیجه گیری

این مطالعه تأیید می کند که نانوذرات اصلاح شده با SDS را می توان جاذب فوق العاده ای برای حذف رنگ های بازی از پساب سنتزی برشمرد. نتایج به دست آمده نشان می دهد pH محلول و مقدار SDS تأثیر زیادی بر جذب رنگ بر روی جاذب دارند. از طرف دیگر، در غیاب یا حضور غلظت های بالای نمک سدیم کلراید (بالاتر از ۱۰٪) بازده حذف رنگ بالاست، اما زمانی که غلظت نمک بین صفر تا ۱۰٪ است، بازده حذف رنگ کاهش می یابد. داده های هم دما برای رنگ بازی زرد ۲۸ به خوبی با مدل لانگمویر منطبق شدند. همچنین براساس مدل لانگمویر، بیشینه ظرفیت جاذب برای رنگ بازی زرد ۲۸ معادل  $140/8 \text{ mg/g}$  به دست آمد. انطباق مدل لانگمویر در این سیستم نشان گر تشکیل پوشش تک لایه ای از رنگ در سطح خارجی جاذب است. همچنین نتایج حاصله نشان داد نانوذرات مگنتیت می توانند به سادگی با متانول بازیابی و مجدداً به کار برده شوند. مقایسه بیشینه ظرفیت نانوذرات اصلاح شده با جاذب با دیگر جاذب های به کار برده شده برای حذف رنگ های بازی نشان دهنده کارایی و ظرفیت جذب بالا و همچنین دینامیک حذف بسیار سریع است (جدول ۲). نتایج این تحقیق را می توان به عنوان پایه ای برای طراحی و ساخت سیستم های تیمار ارزان برای حذف رنگ بازی زرد ۲۸ از پساب های صنعتی به کار برد.

جدول ۲- مقایسه جاذب مورد استفاده در روش پیشنهادی با برخی از جاذب های به کار رفته برای حذف رنگ های بازی از نمونه های پساب

جاذب	رنگ مورد بررسی	$q_{\max} (\text{mg g}^{-1})$	مرجع
Clinoptilolite	Basic Yellow 28	۵۹/۶	Yener et.al
Silkworm pupa	Basic Blue 41	۵۵۵	Noroozi et. al
Agricultural by-products (rice bran and wheat bran)	Malachite Green	۶۶/۵-۶۸/۹	Wang et. al
	Methylene Blue	۱۶/۶-۵۴/۹	
Boron waste	Basic Yellow 28	۷۵/۰	Olgun et.al
	Basic Red 46	۷۴/۷	
Moroccan crude clay	Basic Red 46	۵۴/۰	Karim et. al
Phosphoric acid modified rice straw	Basic blue 9	۲۰۸/۳	Gong et. al
	Basic red 5	۱۸۸/۷	
Cyclodextrin polymer	Basic Blue 3	۴۲/۴	Crini et.al
	Basic Violet 3	۳۵/۸	
	Basic Violet 10	۵۳/۲	
SDS- $\text{Fe}_3\text{O}_4$ NP	BY 28	۱۴۱	This work



## منابع

- [13] Kong L P, Gan X J, Ahmad A L, Hamed B H, Everts E R, Ooi B S, Kang L J. Design and synthesis of magnetic nanoparticles augmented microcapsule with catalytic and magnetic bifunctionalities for dye removal. *Chemical Engineering Journal*; **2012**; **197**: 350-358.
- [14] Ge F Ye H, Li M-M, Zhao B-X. Efficient removal of cationic dyes from aqueous solution by polymer-modified magnetic nanoparticles. *Chemical Engineering Journal*; **2012**; **198-199**: 11-17.
- [15] Konicki W, Sibera D, Mijowska E, Lenzion-Bielu Z, Narkiewicz U. Equilibrium and kinetic studies on acid dye Acid Red 88 adsorption by magnetic  $ZnFe_2O_4$  spinel ferrite nanoparticles. *Journal of Colloid and Interface Science*; **2013**; **398**: 152-160.
- [16] Zhao X L, Shi Y L, Cai Y Q, Mou S F. Cetyltrimethylammonium bromide-coated magnetic nanoparticles for the preconcentration of phenolic compounds from environmental water samples. *Environ. Sci. Technol.*; **2008**; **42**: 1201-1206.
- [17] Saleh A, Yamini Y, Faraji M, Shariati S, Rezaee M. Hollow fiber liquid phase microextraction followed by high performance liquid chromatography for determination of ultra-trace levels of Se(IV) after derivatization in urine, plasma and natural water samples. *J. Chromatogr. B.*; **2009**; **877**: 175-176.
- [18] Tien C. Adsorption calculations and modelling. Newton, Boston, USA: Butterworth-Heinemann; **1994**.
- [1] Slokar Y M, Marechal A M L. Methods of decoloration of textile wastewaters. *Dyes Pigments*; **1998**; **37**: 335-356.
- [2] McKay G, Ramprasad G, Mowli P. Desorption and regeneration of dye colours from low-cost materials. *Water Res.*; **1987**; **21**: 375-381.
- [3] Yener J, Kopac T, Dogu G, Dogu T. Adsorption of Basic Yellow 28 from aqueous solutions with clinoptilolite and amberlite. *Journal of Colloid and Interface Science*; **2006**; **294**: 255-264.
- [4] Noroozi B, Sorial G A, Bahrami H, Arami M. Equilibrium and kinetic adsorption study of a cationic dye by a natural adsorbent—Silkworm pupa. *Journal of Hazardous Materials*; **2007**; **B139**: 167-174.
- [5] Wang X S, Zhou Y, Jiang Y, Sun C. The removal of basic dyes from aqueous solutions using agricultural by-products. *Journal of Hazardous Materials*; **2008**; **157**: 374-385.
- [6] Olgun A, Atar N. Equilibrium and kinetic adsorption study of Basic Yellow 28 and Basic Red 46 by a boron industry waste. *Journal of Hazardous Materials*; **2009**; **161**: 148-156.
- [7] Karim A B, Mounir B, Hachkar M, Bakasse M, Yaacoubi A. Removal of Basic Red 46 dye from aqueous solution by adsorption onto Moroccan clay. *Journal of Hazardous Materials*; **2009**; **168**: 304-309.
- [8] Gong R, Jin Y, Chen J, Hu Y, Sun J. Removal of basic dyes from aqueous solution by sorption on phosphoric acid modified rice straw. *Dyes and Pigments*; **2007**; **73**: 332-337.
- [9] Crini, G. Kinetic and equilibrium studies on the removal of cationic dyes from aqueous solution by adsorption onto a cyclodextrin polymer. *Dyes and Pigments*; **2008**; **77**: 415-426.
- [10] Keyhanian F, Shariati S, Faraji M, Hesabi M. Magnetite nanoparticles with surface modification for removal of methyl violet from aqueous solutions. *Arabian Journal of Chemistry*; **2011**; doi:10.1016/j.arabjc.2011.04.012.
- [11] Shariati S, Faraji M, Yamini Y, Rajabi A A.  $Fe_3O_4$  magnetic nanoparticles modified with sodium dodecyl sulfate for removal of safranin O dye from aqueous solutions. *Desalination*; **2011**; **270**: 160-165.
- [12] Faraji M, Yamini Y, Tahmasbi E, Saleh A, Nourmohammadian F. Cetyltrimethylammonium bromide-coated magnetite nanoparticles as high efficient adsorbent for rapid removal of reactive dyes from the textile companies' wastewaters. *J. Iran. Chem. Soc.*; **2010**; **7**: S130-S144.



